

58. 微粉炭火力発電所における間伐材の利用評価

(シーテック)西山 明雄, (岐阜大工)○(学)戸松 稚登, (正)神原 信志, (正)守富 寛

Assessment of biomass use on a pulverized coal-fired power plant

Akio NISHIYAMA¹, Wakato TOMATSU², Shinji KAMBARA², Hiroshi MORITOMI²

¹ C-Tech Corporation, Ltd., 3 Gifu University, Energy Renewable Energy Systems Division

SYNOPSIS

This paper describe optimization of blending ratio for wood waste in co-combustion with coal by a large scale pulverized coal fired power plant. Grindability of wood waste have measured by simple test using a lab-scale cutter mill. Variation of plant efficiency with blending ratio is calculated by process simulator that incorporated an empirical equation to estimate mill power consumption of wood waste. The plant efficiency is decreased with increasing blending ratio of wood waste.

1. 緒言

地球温暖化問題の解決策の一つとして、カーボンニュートラルな木質バイオマス利用技術の開発が進められている。既設の微粉炭火力ボイラで石炭に木質バイオマスを混合して燃焼する技術は、既存の設備を利用するため、最も合理的な利用法として電力会社を中心に取り組みが行われている。

本研究は、豊富な森林資源を有する愛知県三河地区をモデルケースとして、プロセスシミュレーションによりその経済性と環境負荷特性を評価し、木質バイオマスの最適な混燃比率を決定することを目的としている。本報では、その第一段階として、ある微粉炭火力発電プラントを例に、石炭に木質バイオマスを混燃させた時のプラント特性の変化について検討した。

2. 計算方法

Table 1 に計算で考慮した変数の一覧を示す。

Table 1 プロセスシミュレーションで考慮した変数

区分	性能評価項目	評価変数	単位
燃料	燃料費	給炭量	t/h
動力	P A F 効率費	P A F 吐出流量	m ³ /min
	F D F 効率費	F D F 吐出流量	m ³ /min
	I D F 効率費	I D F 吸込流量	m ³ /min
	G R F 効率費	G R F 風量	m ³ /min
	B U F 効率費	B U F 風量	m ³ /min
	ミル効率費	ミル電流値	A
	その他効率	—	kWh
	所内効率	—	kWh
脱硝	アンモニア費用	NO _x 濃度 アンモニア使用量	ppm kg/h
脱硫	石灰石費用	SO ₂ 濃度 石灰石使用量	ppm kg/h
	石膏収益	石膏生成量	t/h
灰	灰処理費	灰発生量	t/h
	灰有効利用収益	有効利用灰量	t/h
排水	排水処理費	薬品使用量	kg/h
効率	発電端熱効率	各種熱損出	%
	送電端熱効率	各種熱損出	%

著者らが開発した微粉炭火力発電プラント用プロセスシミュレーターは、Table 1 に示したプラント性能に及ぼす炭種の影響を精度良く予測し¹⁾、経済性と環境負荷特性を予測・評価することができる。

石炭と木質バイオマスを混燃する場合、プラント特性に最も影響を及ぼすのは、各種ファンの動力、粉碎機動力、燃焼性（粒径、発熱量の影響）である。特に粉碎機動力は、木質バイオマスの混合により顕著に増加することが報告されている²⁾。本報では、木質バイオマス混燃シミュレーターの開発において、まず、粉碎機動力の変化を予測したので報告する。

3. 粉碎性評価実験

本研究では製材廃材を試料とした。まず、振動ミルで一次粉碎したものを粒径 125 μ m 以上とそれ以下のものに分けた。それぞれの平均粒径 (D50) は、2.5 mm, 70 μ m であった。

次に、D50=2.5 mm の試料をカッターミルで粉碎時間を変えて粉碎した。粉碎後のそれぞれの試料を乾式篩いにより粒径分布を測定した。粉碎時間は、15s, 30s, 60s, 120s とした。

4. 結果

4.1 廃材の粉碎性

Fig.1 に粉碎時間をパラメータとして累積粒径分布の変化を示す。粉碎時間が増加すると粒径分布は小粒径側にシフトするが、60s と 120s では変化はあまり見られなくなる。Fig.2 には、粉碎時間と D50 を示した。木質バイオマスの粉碎動力を研究では²⁾、D50 とその粉碎動力には指數関数的な相関があると報告されている。この関係を用い、Fig.2 の D50 からその粉碎動力を予測した結果も Fig.2 中に示す。D50=125 μ m 程度では粉碎動力はミル 1 台あたり 200 kW であるが、D50=40 μ m 程度まで粉碎すると、その動力は 1050 kW まで増加する (700MW の発電プラントの例)。一般的な石炭の場合、350~400 kWh の所用動力であるから、この値からもわかるように木質バイオマスの最終粉碎粒径とその混燃率が

プラント運転の支配因子となる。

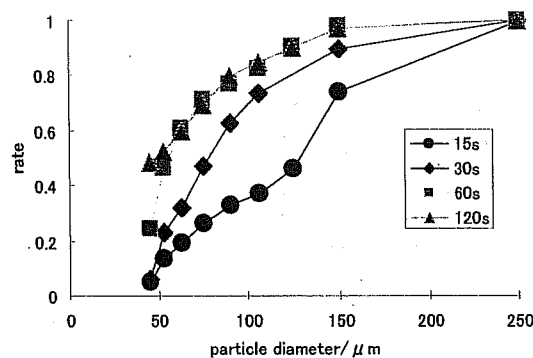


Fig.1 粉碎時間と粒径分布の変化

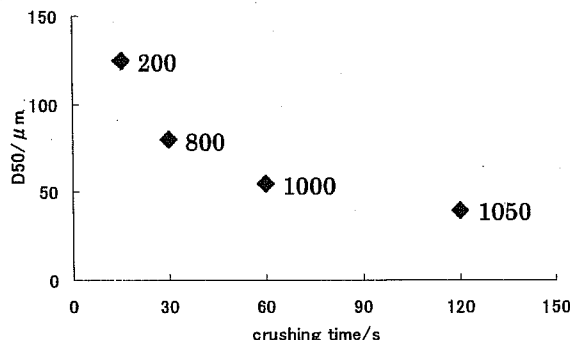


Fig.2 粉碎時間とD₅₀及びミル動力予測値の変化

4.2 混燃率に対するミル動力の変化

廃材を石炭に混合した場合のミル動力の変化を予測するにあたり、まず廃材の目標粉碎粒径を決定する必要がある。粉碎粒径は燃焼性（未燃分）に影響を及ぼすため、その燃焼特性を知る必要がある、そこで熱天秤を用い、空気雰囲気で各粒径の燃焼完結温度を調べた。Fig.3に粒径と燃焼完結温度の関係を示す。粒径が小さくなるに従って燃焼完結温度は低くなる傾向が見られるが、粒径 125 μm 以下ではその差はない。現在のところ、廃材の粒径が燃焼率に及ぼす影響は定量的に把握していないが、Fig.3より、廃材の目標粉碎粒径を 125 μm としてミル動力を次に予測した。

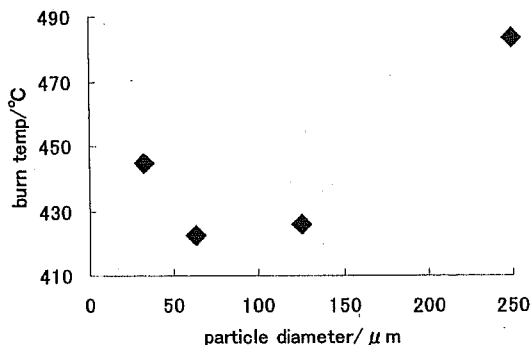


Fig.3 TGAによる粒径別廃材の燃焼完結温度

石炭のミル動力 P_c は、給炭量とミル電流値の関係式から予測する。廃材のミル動力 P_w は、廃材が 100% の時の動力を 1000 kWh とし、混燃率に対し比例的に変化するとした。石炭と廃材の混合によるミル総粉碎動力 P_T は次式で求めた。

$$P_T = M P_w + f(1 - M) F_c$$

ここで、M は廃材の入熱量基準の混燃率(−), F_c は混燃がない場合の給炭量(t/h), f は給炭量からミル動力を予測する関数である。

Fig.4 に、廃材混燃率に対するミル 1 台あたりのミル動力の計算結果を示す。混燃率が 13 % 程度になると動力は 400 kWh まで上昇する。ミルの性能にも関係するが、このような動力の増加が混燃率上限決定の主因子となると考えられる。

Fig.5 は、Table 1 で示した性能評価項目をすべて考慮し、発電端の発電プラント効率を計算した結果である。廃材を 13% 混燃すると、プラント効率は約 0.5 % 低下する。これには、Fig.4 のミル電力の増加はもちろん、水分の多い廃材（10%を仮定）を混燃することによる各種ファン（PAF, FDF, IDF, BUF）動力の増加も寄与している。

今後、経済性および環境負荷（特に CO_2 ）の観点から、木質バイオマス種類別の最適混燃率を決定していく予定である。

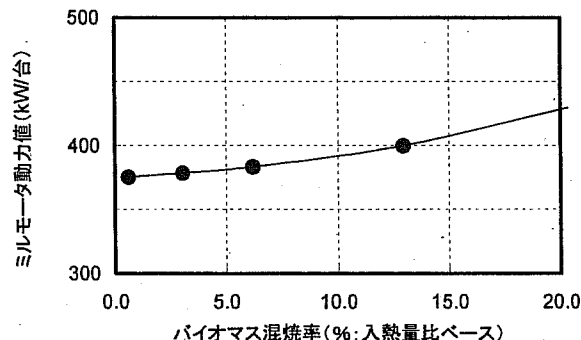


Fig.4 廃材の混燃率に対するミル動力の変化

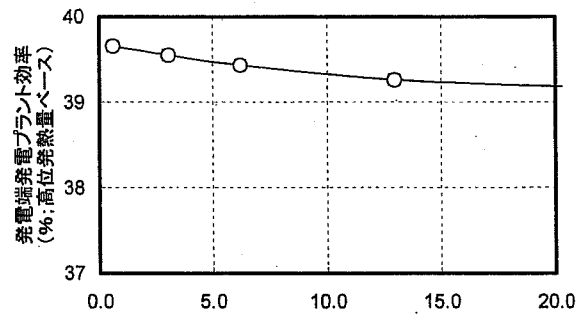


Fig.5 廃材の混燃率に対するプラント効率の変化

5. 結言

廃材の粉碎試験を行い、その粉碎動力を推定した。微粉炭火力発電プロセスシミュレータに廃材の粉碎特性を組み込み、混燃率に対するプラント性能の変化を予測した。廃材の混燃によりミル動力やファン動力は増加し、13%の混燃でプラント効率は約 0.5 % 低下することが予測された。

参考文献

- S.Kambara and T.Yamada, Proc. of Effects of Coal Quality on Power Plants, 5, 15-29 (1997)
- バイオマスエネルギー高効率転換技術開発 石炭・木質バイオマス混燃技術の研究開発 (NEDO 報告書 100000673) (2002)

*Tel : 058-293-3341 Fax : 058-293-3341

E-mail : kambara@cc.gifu-u.ac.jp